

В.Г. Савченко, М.Е. Бабешко

**УПРУГОПЛАСТИЧЕСКОЕ ОСЕСИММЕТРИЧНОЕ  
НАПРЯЖЕННО-ДЕФОРМИРОВАННОЕ СОСТОЯНИЕ  
СЛОИСТЫХ ОБОЛОЧЕК ПРИ ТЕРМОСИЛОВОМ НАГРУЖЕНИИ  
И РАДИАЦИОННОМ ОБЛУЧЕНИИ**

**Введение.** Известно, что под действием радиационного облучения в твердых телах происходят физические процессы, вызывающие существенное изменение механических свойств материалов. Для описания процессов термоупругопластического деформирования изотропных материалов с учетом изменения их механических характеристик при радиационном облучении известны определяющие уравнения, позволяющие исследовать процессы, характеризующиеся траекториями деформирования в виде прямых [1] и линий малой кривизны [2]. Изложим методику численного исследования упругопластического напряженно-деформированного состояния (НДС) слоистых оболочек вращения при осесимметричном нагружении с учетом его истории и влияния радиационного облучения.

**Постановка задачи.** Рассматривается слоистая оболочка вращения, изготовленная из изотропных материалов, первоначально находящаяся в ненапряженном и необлученном состоянии при начальной температуре  $T = T_0$ , а затем подвергнутая действию осесимметричных силовых нагрузок, неравномерного нагрева и радиационного облучения. Предполагается, что слои оболочки деформируются без проскальзывания и отрыва; оболочка не теряет устойчивости. В процессе нагружения и облучения в материалах оболочки наряду с упругими деформациями могут возникать зоны пластических деформаций, в которых может происходить разгрузка; уровни нагрузок и время их действия таковы, что деформации ползучести не возникают. Оболочка отнесена к криволинейной ортогональной системе координат  $s, \theta, \zeta$ , где  $s$  - меридиональная координата непрерывной координатной поверхности,  $s_a \leq s \leq s_b$ ,  $s_a, s_b$  - координаты, соответствующие торцам оболочки;  $\theta (0 \leq \theta \leq 2\pi)$  - окружная координата, а  $\zeta (\zeta_0 \leq \zeta \leq \zeta_k)$  - координата, отсчитываемая по

нормали к координатной поверхности,  $\zeta_0$  - соответствует внутренней поверхности первого (внутреннего) слоя оболочки, а  $\zeta_k$  - наружной поверхности последнего (внешнего) слоя;  $k$  - количество слоев, толщины которых  $h_i = \zeta_i - \zeta_{i-1}, i = 1, 2, \dots, k$ . Задача решается в геометрически линейной квазистатической постановке в пределах малых деформаций с использованием гипотез Кирхгофа-Лява для пакета слоев. Для описания деформирования элементов оболочки используются соотношения теории терморadiационной пластичности при простом нагружении с учетом истории, линеаризованные методом переменных параметров упругости.

**Метод решения.** Для решения задачи процесс нагружения разбивается на ряд малых этапов таким образом, чтобы моменты времени, разграничивающие этапы, хорошо согласовались с моментами перехода от активного нагружения к разгрузке. Используя соотношения пластичности, уравнения равновесия и геометрические соотношения, задачу определения упругопластического НДС оболочки сводим к решению краевой задачи для системы уравнений

$$\frac{d\vec{Y}}{ds} = P(s)\vec{Y} + \vec{f}(s), \quad B_1\vec{Y}(s_a) = \vec{b}_1, \quad B_2\vec{Y}(s_b) = \vec{b}_2, \quad (1)$$

которую необходимо решить в каждом приближении на каждом этапе нагружения. В (1)  $\vec{Y}$  - вектор-столбец разрешающих функций,  $P(s)$  - матрица системы,  $\vec{f}(s)$  - вектор-столбец дополнительных слагаемых,  $B_1, B_2$  - заданные матрицы,  $\vec{b}_1, \vec{b}_2$  - заданные векторы-столбцы граничных условий. Компоненты матрицы  $P(s)$  и вектора  $\vec{f}(s)$  вычисляются в каждом приближении по результатам решения задачи в предыдущем приближении. Выражения для компонент матрицы  $P(s)$  и вектора  $\vec{f}(s)$  приведены в статьях [1,3].

**Численные результаты.** В качестве примера исследуем упругопластическое НДС сплошной круглой двухслойной пластины радиуса  $R=50$  см с постоянной толщиной слоев  $h_1=h_2=1,25$  см, за координатную поверхность которой выбрана срединная поверхность. Пластина, жестко защемленная по контуру, подвергается действию нормальной к срединной поверхности распределенной нагрузки  $q_\zeta = 0,7$  МПа и радиационного облучения за счет падающего на поверхность  $\zeta=-h/2$  потока нейтронов, при  $T=T_0=0^0\text{C}$ . Первый слой

пластины ( $-h/2 \leq \zeta \leq 0$ ) изготовлен из графита, а второй – из стали 347. Распределение дозы радиации по толщине пластины задано законом  $N = Ate^{-\mu(\zeta+h/2)}$ , где  $A=20 \cdot 10^{18}$  нейтрон/см<sup>2</sup>·с,  $0 \leq t \leq 1$  с,  $\mu=1,2$  см<sup>-1</sup> в первом и  $\mu=0,55$  см<sup>-1</sup> во втором слое. Процесс нагружения был разбит на 5 этапов. На рис.1 приведены распределения вдоль координаты  $s$  меридиональных  $\sigma_{ss}$ , а на рис. 2 - окружных  $\sigma_{\theta\theta}$  напряжений.

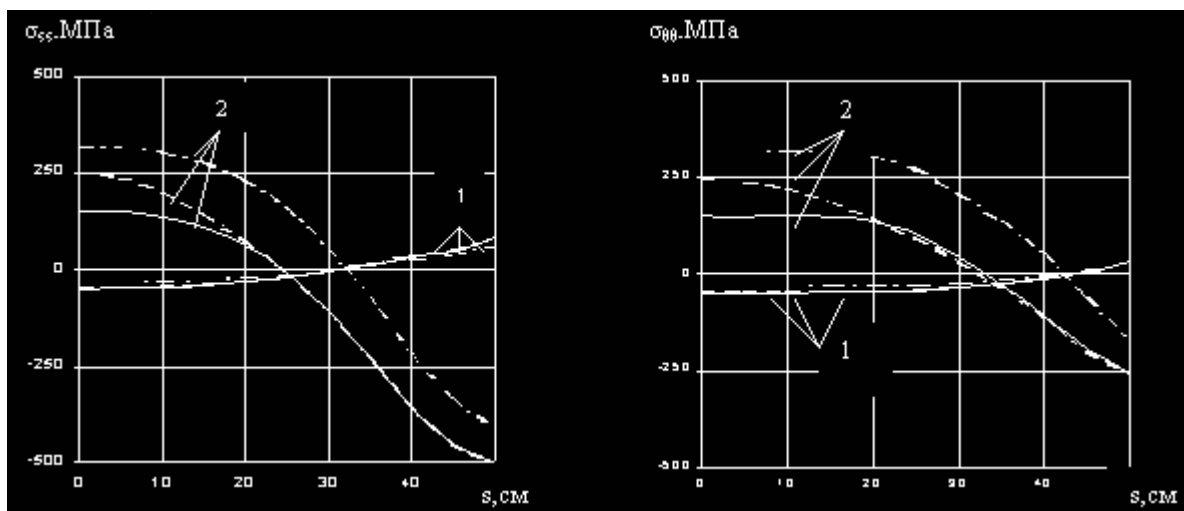


Рисунок 1

Рисунок 2

Кривые 1 и 2 соответствуют значениям напряжений при  $\zeta = -h/2$  и  $\zeta = h/2$ . Результатам расчета с учетом радиационного облучения и истории нагружения соответствуют сплошные линии. Штрихпунктирные линии соответствуют расчету без учета радиационного облучения, а штриховые – расчету без учета истории нагружения. Из этих рисунков видно, что радиационное облучение существенно повлияло на распределение напряжений. В расчете без учета истории нагружения максимальные значения напряжений в окрестности центра пластины оказались почти на 50% выше, чем в расчете с учетом истории нагружения.

**Выводы.** Таким образом, выполненное исследование показывает существенное значение учета влияния радиационного облучения и истории нагружения в данной задаче.

#### ЛИТЕРАТУРА

1. 1. Savchenko V.G., Babeshko M.E. The Elastoplastic Axisymmetric Stress - Strain State of Flexible Laminated Shells Exposed to

- Radiation // Int. Appl. Mech. – 2000. – Vol.36, No 9. - P.1218-1224.
2. Savchenko V.G., Shevchenko Yu.N. Spatial Thermoviskoplastic Problems// Int. Appl. Mech. – 2000. – Vol.36, No 11. - P.1399-1433.
  3. Бабешко М.Е., Савченко В.Г. Исследование упругопластического осесимметричного напряженно-деформированного состояния слоистых оболочек при радиационном облучении с учетом истории нагружения//Прикл механика. – 2001. – 37, No 11. – С.75 – 80.

Получено 27.02.2006